

بررسی خواص الکتروشیمیایی و جداشدگی کاتدی پوشش پلی

یورتان بر روی فولاد نرم

سوران خفنجⁱ, محمد رضا محمدزاده عطارⁱⁱ, رضا نادری محمودیⁱⁱⁱ

چکیده

در این تحقیق اثر افزایش ضخامت پوشش و لایه اکسیدی تشکیل شده بر روی سطح فولاد نرم در الکتروولیت کلرید سدیم ۳/۵٪ وزنی بر کارایی پوشش پلی یورتان به روش امپدانس الکتروشیمیایی (EIS) در نقطه OCP مطالعه شده است. مقاومت پلاریزاسیون و ظرفیت کل با برازش داده ها با مدار معادل الکتریکی استخراج گردیده اند. همچنین جداشدگی کاتدی پوشش پلی یورتان با تغییر پارامترهای یاد شده به روش DC بررسی گردید.

کلمات کلیدی

پلی یورتان، امپدانس الکتروشیمیایی، لایه اکسیدی، جداشدگی کاتدی، حفره، کاتیون.

Study of Electrochemical properties and Cathodic disbonding of Polyurethane coating

S. Khafanj, M. M. Attar, R. Naderi M.

ABSTRACT

EIS has been examined at open circuit potential (OCP) in 3.5% NaCl solution to indicate the effect of coating thickness and mill scale on electrochemical properties of polyurethane coated mild steel. Polarization resistance and total capacitance have been extracted from fitting of EIS results with an electric circuit.

In addition cathodic disbonding of polyurethane was determined via DC method.

KEYWORDS

polyurethane, EIS, mill scale, cathodic disbonding, holiday, cation.

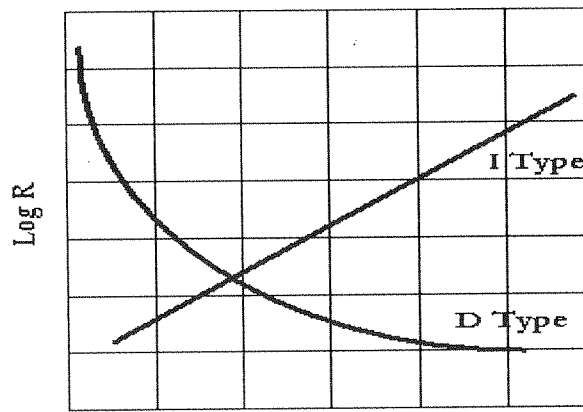
ⁱ- دانشجوی کارشناسی ارشد، دانشگاه صنعتی امیرکبیر، دانشکده مهندسی پلیمر،

ⁱⁱ- دانشیار دانشکده مهندسی پلیمر، دانشگاه صنعتی امیرکبیر،

ⁱⁱⁱ- دانشجوی دکتری، دانشکده مهندسی پلیمر، دانشگاه صنعتی امیرکبیر،

۲- پوشش‌های آلی حاوی پیگمنت‌های ضد خوردگی، زمانی که گونه‌های خوردگی به فصل مشترک فلز-پوشش می‌رسند، باعث کاهش سرعت خوردگی می‌شوند [۲]- چسبندگی خوب پوشش به سطح فلز مانع از جدا شدن پوشش و در نتیجه تولید محصولات خوردگی می‌شود. اما در سازه‌هایی که در معرض مستقیم با الکتروولیت قرار دارند، استفاده همزمان از پوشش‌های آلی به همراه حفاظت کاتدی مرسوم می‌باشد [۵] [۶] [۷]. بنا به

استفاده از پوشش‌های آلی یکی از قدیمی‌ترین و کم هزینه‌ترین راهها جهت حفاظت از سازه‌های فلزی در برابر خوردگی و عوایق ناشی از آن می‌باشد [۱]، [۲]. مکانیزم‌های اصلی خواص ضد خوردگی پوشش‌های آلی در برابر خوردگی به سه دسته تقسیم می‌شود [۲]، [۳] [۴]: ۱- پوشش‌های آلی به صورت سدی در برابر گونه‌های خورنده عمل می‌کنند و مانع از رسیدن این گونه‌ها به فصل مشترک فلز-پوشش می‌شوند



شکل (۱): اثر غلظت الکتروولیت بر مقاومت الکتریکی پوشش نوع A و D [۱۵]

روش‌های مختلفی جهت بررسی پدیده‌های الکتروشیمیایی استفاده می‌شود. یکی از روش‌های متداول در چند دهه اخیر استفاده از روش امپدانس الکتروشیمیایی می‌باشد. در این تحقیق خواص حفاظتی پوشش پلی یورتان به روش EIS مورد مطالعه قرار گرفته است. همچنین بررسی جدا شدن کاتدی پوشش پلی یورتان از روی فولاد نرم به روش DC انجام گرفته است.

۲- روش تحقیق

سطح فولاد نرم به دو روش جداگانه آماده سازی شده است. در روش اول چربیگیری با حلال استون و در روش دوم سندبلاست با درجه Sa2 انجام شده است. پوشش پلی یورتان رطوبت-سخت در دو ضخامت $6.0 \pm 3\text{ }\mu\text{m}$ و $100.0 \pm 5\text{ }\mu\text{m}$ بر روی فولاد نرم چربیگیری شده و در ضخامت $100.0 \pm 5\text{ }\mu\text{m}$ بر روی فولاد نرم سندبلاست شده اعمال شده است، که به ترتیب A، B

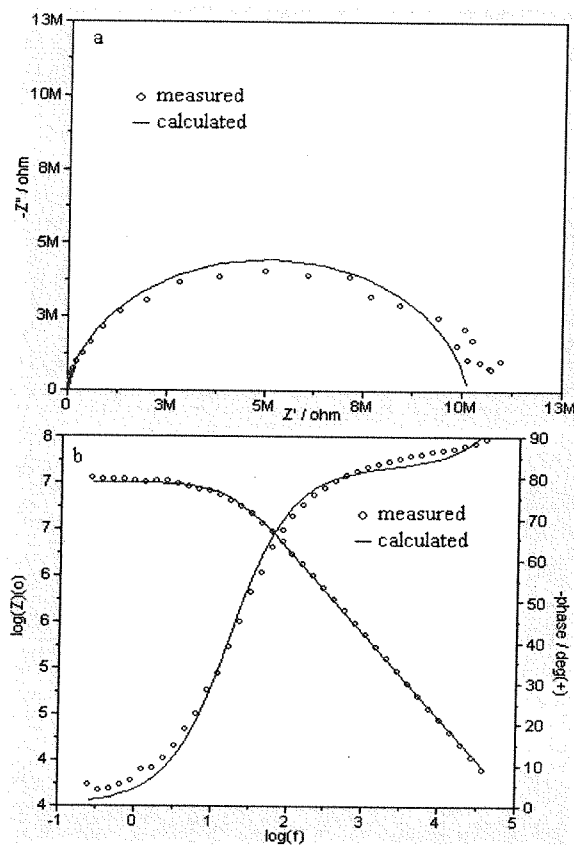
دلایلی ممکن است که قسمتی از سطح فلز پوشش داده شده در معرض مستقیم الکتروولیت قرار بگیرد، در نتیجه واکنش‌های کاتدی که در زیر پوشش رخ می‌دهد، یونهای هیدروکسیل (OH^-) تولید خواهد شد و در نتیجه لایه‌ای از الکتروولیت با pH بالا در زیر پوشش به وجود می‌آید. یونهای هیدروکسیل به سه صورت باعث جدا شدن کاتدی پوشش می‌شوند [۸]، [۹]، [۱۰]: ۱- حل شدن لایه اکسیدی سطح فلز- ۲- هیدرولیز قلیابی پوشش آلی- ۳- حمله به باندهای پلیمر- فلز. جهت پیشرفت واکنش‌های کاتدی و ادامه جدا شدن کاتدی پوشش، یونهای هیدروکسیل توسط کاتیونهای فلزی موجود در الکتروولیت خنثی می‌گردند، که کاتیونها از دو مسیر به سایتهای تولید یونهای هیدروکسیل نفوذ می‌کنند [۱۱]، [۱۲]: ۱- از طریق پوشش آلی- ۲- از طریق حفره. در طول زمان تولید و شکل دهی فولاد نرم، بر روی سطح آن، لایه اکسیدی ناشی از اکسیداسیون فولاد نرم توسط اکسیژن در دمای بالا تشکیل خواهد شد. با نفوذ گونه‌های خورنده به داخل پوشش و دستیابی آنها به سطح فلز و تخریب لایه اکسیدی، پیل گالوانیک تشکیل خواهد شد، که لایه اکسیدی به عنوان کاتد و فولاد نرم به عنوان آند عمل می‌کند، که موجب تشکیل محصولات خوردگی و تخریب پوشش خواهد شد [۱۳].

برخی از محققین احتمال هدایت الکتریکی از طریق خلل و فرج را مورد توجه قرار دانند. بر اساس این تحقیقات حالات مختلفی از هدایت از طریق پوشش وجود دارد. اولین نوع، معکوس (I) است که با افزایش غلظت الکتروولیت افزایش مقاومت یونی ایجاد می‌شود. دومین نوع هدایت، نوع مستقیم (D) است که با افزایش غلظت یونی، کاهش مقاومت یونی را در پی دارد [۱۴]. با مطالعه پوشش فتل فرمالدئید مشاهده شد که با افزایش ضخامت پوشش میزان مناطق D، ۴ مرتبه و برای پوشش اپوکسی ۲ مرتبه کاهش می‌یابد. همچنین با گذشت زمان غوطه وری، مناطق I به آرامی به مناطق D تبدیل می‌شوند [۱۵].

از آنجایی که سیستم تحت فرایند انتقال بار می‌باشد، پس به جای مقاومت پوشش و مقاومت انتقال بار از مقاومت پلاریزاسیون [۱۸] استفاده شده است، همچنین Q_p تابعی از ظرفیت پوشش و ظرفیت لایه دوگانه می‌باشد ولی این تابعیت مشخص نمی‌باشد.

$$Q_p = f(Q_C, Q_{dl}) \quad R_p = R_{ct} + R_{po}$$

منحنی باد و نایکویست مربوط به پوشش پلی یورتان اعمال شده بر روی سطح چربیگیری شده با ضخامت $6\text{ }\mu\text{m}$ در الکترولیت کلرید سدیم $2/5\%$ وزنی بعد از 360 ساعت غوطه وری و برآش آن با مدار معادل شکل ۲ در شکل ۳ آورده شده است. از آنجایی که سطح همه نمونه‌ها برابر بوده است برای مقاومت پلاریزاسیون و ظرفیت کل به ترتیب از واحدهای Ω و فاراد (F) استفاده شده است.



شکل (۳) منحنی نایکویست (a) و باد (b) پوشش پلی یورتان بر روی سطح چربیگیری شده با ضخامت $6\text{ }\mu\text{m}$ در الکترولیت کلرید سدیم $2/5\%$ وزنی بعد از 360 ساعت غوطه وری

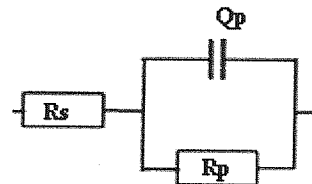
۱-۳- مقاومت پلاریزاسیون

با غوطه ور کردن نمونه‌های پوشش داده شده در الکترولیت اولین مرحله از تخریب پوشش، نفوذ آب به داخل پوشش می‌باشد. آب از طریق مجرایی که در پوشش وجود

و C نامیده می‌شوند. مساحت 4 cm^2 از نمونه‌ها با ضخامت $2/5\%$ وزنی غوطه ور شده اند. EIS نمونه‌ها در یک سل سه الکترولیت FRA طی زمان انجام گرفته و آنالیز داده‌ها با نرم افزار (OCP) (Ag/AgCl) به ترتیب به عنوان الکترودهای کمکی و مرجع استفاده شده است. برای بررسی جداشده‌گی کاتدی پوشش پلی یورتان، نمونه‌ها به همان روش قبلی تهیه شده‌اند. بعد از تهیه نمونه‌ها با استفاده از متله سرتخت، حفره ای به قطر 1 mm در پوشش ایجاد شده است، به طوریکه پوشش به طور کامل از روی سطح برداشته شود و آسیبی به سطح فلز وارد نشود. با استفاده از آند منیزم با پتانسیل $-1/46\text{ V}$ (Ag/AgCl) نمونه‌ها در الکترولیت $2/5\%$ وزنی پلاریزه شده اند. میزان جداشده‌گی کاتدی طی زمان با استفاده از وزن کاغذ کالک و تناسب آن با مساحت اندازه گیری شده است [۱۶].

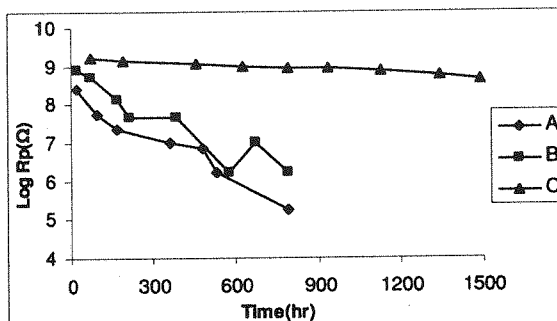
۳- بحث در نتایج

در نمودارهای باد و نایکویست مربوط به تمام نمونه‌ها در الکترولیت کلرید سدیم با غلط $2/5\%$ وزنی در همه موارد فقط یک ثابت زمانی دیده می‌شود. از لحاظ تئوری پارامترهای فصل مشترک، یعنی مقاومت انتقال بار و ظرفیت لایه دوگانه زمانی قابل محاسبه هستند که ثابت زمانی‌های مربوط به پوشش و فصل مشترک به طور واضح جداپذیر و این زمانی رخ می‌دهد که امپدانس پوشش برابر یا کوچکتر از امپدانس فصل مشترک باشد [۱۷]. همچنین در صورتیکه اختلاف بین ثابت زمانی‌های پوشش و واکنش‌های شیمیایی که در فصل مشترک فلز-الکترولیت رخ می‌دهد، کوچک باشد، در منحنی باد و نایکویست تنها یک ثابت زمانی دیده خواهد شد [۱]. برآش داده‌ها با مدار معادل شکل ۲ انجام شده است که R_s , R_p و Q_p به ترتیب بیانگر مقاومت الکترولیت، مقاومت پلاریزاسیون و ظرفیت کل هستند.



شکل (۲): مدار معادل فلز پوشش داده شده غوطه ور در الکترولیت R_s , R_p و Q_p به ترتیب بیانگر مقاومت الکترولیت، مقاومت پلاریزاسیون و ظرفیت کل هستند.

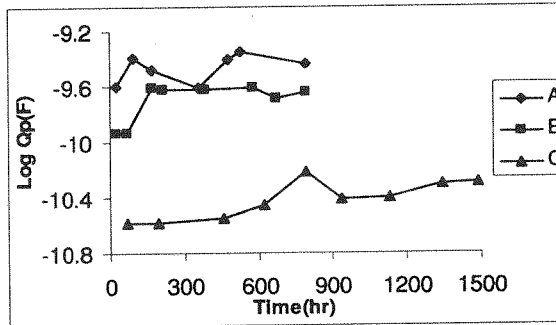
دارد به داخل پوشش و فصل مشترک فلز-پوشش نفوذ می‌کند. همچنین فشار اسمزی و گرادیان غلظت می‌تواند باعث نفوذ آب به داخل پوشش شود. نفوذ آب به داخل پوشش موجب بازشدن حفره‌ها و ایجاد مسیرهای جدید در داخل پوشش می‌گردد، پس مسیر برای نفوذ سایر گونه‌های شیمیایی باز خواهد شد. پلی یورتان در محیط‌های خنثی و قلیایی هیچگونه اختیاب پذیری یونی ندارد و هر یونی اعم از کاتیونها و آئینونها می‌توانند به داخل پوشش پلی یورتان نفوذ کنند[۹]. با نفوذ یونها از داخل الکتروولیت به داخل پوشش و همچنین تمایل یونهای هیدروکسیل تولید شده در زیر پوشش به خارج از پوشش، مقاومت پلاریزاسیون افت پیدا می‌کند. این روند برای هر سه نمونه در شکل ۴ رخ داده است ولی نمونه‌های A و B بسیار بیشتر از نمونه C بوده است. افزایش ضخامت نمونه B نسبت به نمونه A موجب افزایش ۶٪ مرتبه ای مقاومت در ابتدای زمان غوطه وری شده است که مطابق با نتایج Mills & Kinsella [۱۵] می‌باشد. کاهش مقاومت پلاریزاسیون بعد از ۷۹۲ ساعت برای نمونه‌های A و B به ترتیب ۲/۱۵ و ۲/۷ مرتبه بوده است. با افزایش ضخامت پوشش مناطق I در پوشش زیاد می‌شود و درصد نواحی D کاهش می‌یابد، که امپدانس نواحی I به مراتب بیشتر از نواحی D می‌باشد[۱]. همچنین با افزایش ضخامت، تعداد مجرای و تخلخلهای پوشش کاهش و مسیری که یونها باید طی کنند، بیشتر می‌شود[۱]. با انجام عملیات سندبلاست لایه اکسیدی از روی سطح فولاد نرم برداشته می‌شود. افت مقاومت پلاریزاسیون نمونه C بعد از ۷۹۲ و ۱۴۸۸ ساعت به ترتیب ۰/۲۹ و ۰/۵۹ مرتبه بوده است. محصولات خردگی تولید شده از سل گالوانیکی، بین لایه اکسیدی و فولاد نرم، موجب ایجاد نیرو محركه‌ای است که باعث افزایش و پیشرفت مسیرهای رسانا در پوشش خواهد شد[۱۲]. همچنین سندبلاست موجب افزایش درگیریهای مکانیکی و در نتیجه بهبود چسبندگی پوشش خواهد شد. هر اندازه چسبندگی پوشش به سطح بیشتر باشد، میزان جاذبه و تاول‌ها در پوشش کمتر خواهد شد. مقاومت پلاریزاسیون با افزایش تاول‌ها کاهش می‌یابد، زیرا که امپدانس پوشش جدا شده به مراتب کمتر از امپدانس پوشش چسبیده به سطح می‌باشد[۱۲]. به همین دلایل مقاومت پلاریزاسیون نمونه C نسبت به نمونه B بیشتر می‌باشد و افت مقاومت پلاریزاسیون طی زمان با سرعت کمتری رخ خواهد داد، همانگونه که Naderi & Attar بالاتر بودن مقاومت پوشش پلی استر پوری بر روی فولاد نرم اسید شویی شده نسبت به فولاد چربیگیری شده را حذف لایه اکسیدی حاصل از نورد در روش اول عنوان کردند [۱۳].



شکل (۴): نمایش مقاومت پلاریزاسیون نمونه‌های A، B و C با گذشت زمان

۳-۲-۳- ظرفیت کل

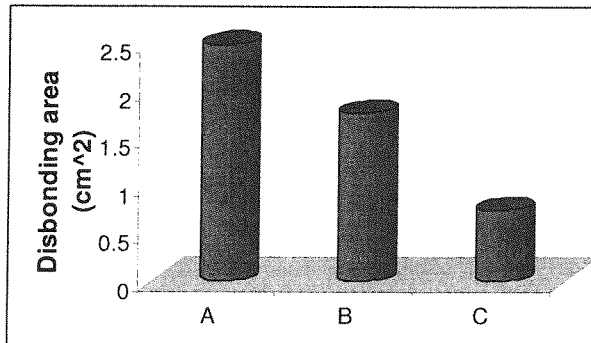
افزایش اولیه در ظرفیت نمونه A به خاطر جذب آب بوده است. با توجه به اینکه ثابت دی الکتریک آب به مراتب بیشتر از ثابت دی الکتریک پوشش می‌باشد، نفوذ آب موجب افزایش ظرفیت پوشش



شکل (۵): نمایش ظرفیت کل نمونه‌های A، B و C با گذشت زمان

[۱]، [۱۲]، [۲۰] و پیرو آن افزایش ظرفیت کل شده است. با نفوذ گونه‌های خورنده و دستیابی آنها به فصل مشترک و تشکیل محصولات خوردگی، ظرفیت لایه دوگانه کاهش می‌یابد[۱۸]، پس ظرفیت کل A هم کاهش می‌یابد. با افزایش محصولات خوردگی، میزان جذب آب بیشتر می‌شود. همچنین امکان ایجاد ترک و نقص در پوشش افزایش می‌یابد که همین امر باعث افزایش ظرفیت A بعد از ۲۶۰ ساعت شده است. افزایش اولیه ظرفیت نمونه B به دلیل نفوذ آب می‌باشد. ظرفیت کل نمونه B بعد از ۱۶۸ ساعت ثابت شده است که حاکی از اشباع شدن پوشش می‌باشد. اختلاف اولیه ظرفیت بین نمونه های B و C تقریباً ۶۵٪ مرتبه می‌باشد که شاید به دلیل وجود لایه اکسیدی در نمونه B می‌باشد. زیرا لایه اکسیدی همانند یک دی الکتریک عمل می‌کند که باعث افزایش ظرفیت B نسبت به C شده است. در مراحل بعدی با تشکیل سل گالوانیک محصولات

کاهش داشته است. عدم وجود لایه اکسیدی دلیلی بر این مسئله است. زیرا همانگونه که قبلاً گفته شد، یکی از مکانیزم‌های جداشدن کاتدی پوشش‌های آلی حل لایه اکسیدی سطح فلز توسط محیط بازی می‌باشد. پس می‌توان گفت که یکی از مکانیزم‌های جداشدن کاتدی پوشش پلی یورتان از روی سطح فولاد نرم، حل لایه اکسیدی بوده است که به تنها و یا به صورت ترکیبی با سایر مکانیزم‌ها موجب جداشدن کاتدی پوشش پلی یورتان شده است.



شکل (۷): مقایسه مساحت جداشدنی کاتدی نمونه های A، B و C

۵- نتیجه

با افزایش ضخامت پوشش پلی یورتان، تعداد حفره ها و تخلخلها در پوشش کاهش می‌یابد. همچنین یونها برای دستیابی به فصل مشترک فلز- پوشش باید مسیر بیشتری را طی کنند، به همین دلیل مقاومت پلاریزاسیون افزایش می‌یابد. برداشتن لایه اکسیدی موجب بھبود کارایی پوشش در زمان سرویس دهی خواهد شد. لایه اکسیدی در حضور الکتروولیت با سطح فولاد نرم تشکیل پل گالوانیک می‌دهد که موجب تشکیل محصولات خورده‌گی در زیر پوشش خواهد شد. محصولات خورده‌گی از یک طرف باعث افزایش مسیرهای رسانا در پوشش و از سوی دیگر باعث ایجاد نقصهای مکانیکی در پوشش خواهد شد. همچنین میزان جذب آب به دلیل تشکیل محصولات خورده‌گی در نمونه‌های چربیگیری شده بیشتر از نمونه‌های سنبلاست شده می‌باشد.

جداشدن کاتدی پوشش در حضور لایه اکسیدی افزایش می‌یابد، زیرا با تولید یونهای هیدروکسیل در زیر پوشش، محیط قلایی ایجاد می‌شود که می‌تواند موجب حل شدن لایه اکسیدی و در نتیجه جدا شدن پوشش از روی سطح فولاد نرم گردد.

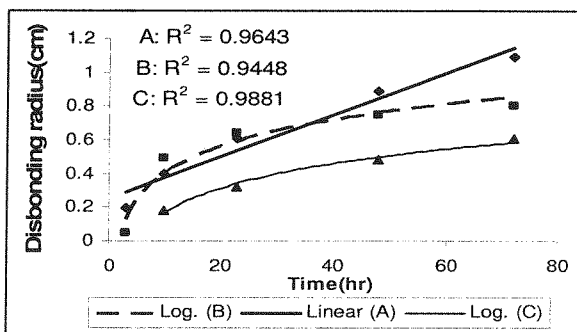
۶- مراجع

V. S. Raja, R. Gayathiri, A. Venugopal, N. C. Debnath, J. Giridhar, *Surface and Coatings Tech.*, 107(1998)1.

خورده‌گی تشکیل می‌شود. وجود محصولات خورده‌گی باعث ایجاد نیرو محرکه‌ای جهت جذب آب بیشتر در نمونه B می‌شود. از طرف دیگر با توجه به چسبندگی بهتر نمونه C به دلیل درگیریهای مکانیکی امکان نفوذ آب به فصل مشترک به مراتب کمتر شده است.

۴- جدا شدن کاتدی

همانگونه که قبلاً اشاره شد، کاتیونهای فلزی برای بالانس بار یونهای هیدروکسیل در زیر پوشش، از طریق پوشش و یا از طریق حفره نفوذ می‌کنند. یکی از راههای تشخیص مکانیزم نفوذ کاتیونهای فلزی رسم شعاع جدا شدنی کاتدی بر حسب زمان می‌باشد (شکل ۶).



شکل (۶): روند جداشدن کاتدی نمونه های A، B و C بر اساس شعاع معادل

جمع یونهای هیدروکسیل در زیر پوشش موجب ایجاد مقاومت خواهد شد که می‌تواند نفوذ کاتیونها را کند نماید. نفوذ کاتیونها اگر که از طریق پوشش باشد، این مقاومت تأثیر محسوسی بر نفوذ کاتیونها نمی‌گذارد و نرخ جدا شدن با زمان به طور تقریبی ثابت خواهد بود، پس روند شعاع جداشدن با زمان خطی خواهد بود. اما اگر نفوذ از یونهای هیدروکسیل افزایش شعاع جداشدن، مقاومت ناشی از یونهای هیدروکسیل هم افزایش خواهد یافت. پس شعاع جداشدن با زمان خطی خواهد بود.

همانگونه که در شکل ۶ مشاهده می‌شود، برای نمونه A مکانیزم نفوذ کاتیونها از طریق پوشش و مکانیزم نفوذ کاتیونها برای نمونه های B و C از طریق حفره بوده است. مقایسه مساحت جداشده پوشش پلی یورتان بعد از ۴۸ ساعت (شکل ۷) بیانگر این مطلب است که با افزایش ضخامت، میزان جداشدن کاتدی پوشش کاهش یافته است که باز هم بیانگر تغییر مکانیزم نفوذ کاتیونها از طریق پوشش به سمت حفره با افزایش ضخامت پوشش می‌باشد. با مقایسه بین نمونه های B و C می‌توان مشاهده کرد که میزان جداشدن کاتدی ۲/۲۸ برابر

- J.T. Zhang, J.M. Hu, J.Q. Zhang, C.N. Cao, *Prog. in Organic Coatings*, 49 (2004) 293. [Y]
- C. Corfias, N. Pebere, C. Lacabanne, *Corrosion Science*, 41(1999) 1539. [Y]
- A. Amirudin, D. Thierry, *Prog. in Organic Coatings*, 26 (1995) 1. [S]
- Q. Le Thu, H. Takenouti, S. Touzain, *Electrochimica Acta*, 51(2006) 2491. [S]
- J. L. Luo, C. J. Lin, Q. Yang, S. W. Guan, *Prog. in Organic Coatings*, 31(1997)289. [Y]
- J. J. Perdomo, I. Song, *Corrosion Science*, 42(2000) 1389. [Y]
- M. Kending, R. Addison, S. Jeanjaquet, J. *Electrochemical Society* 137(1990)2690. [A]
- F. Deflorian, S. Rossi, *Electrochimica Acta*, 51(2006)1736. [A]
- H. Leidheiser, Jr. & W. Wang, *NACE Conference*, 1980. [Y.]
- H. Leidheiser, Jr. ,W. Wang, L. Igetoft, *Prog. in Organic Coatings*, 11 (1983) 19. [Y.]
- J. J. Skar, U. Steinson, *Corrosion Science*, 35(1993) 1385. [Y.]
- R. Naderi a, M.M. Attar, M.H. Moayed, *Prog. in Organic Coatings*, 50 (2004) 162. [Y.]
- D. Greenfield and D. Scantlebury, *JSCE*, 3(2000). [Y.]
- D. J. Mills, J. E. O. Mayne, *Corrosion Control by Organic Coatings*, NACE (1981) 12. [Y.]
- M. K. Harun, J. Marsh, S. B. Lyon, *Prog. in Organic Coatings*, 54 (2005) 317. [Y.]
- G. Grundmeier, W. Schmidt, M. Stratmann, *Electrochimica Acta*, 45 (2000) 2515. [Y.]
- J. J. Suay, M. T. Rodriguez, K. A. Razzaq, J. J. Carpio, J. J. Saura, , *Prog. in Organic Coatings*, 46 (2003) 121. [Y.]
- H. Jullien, "Corrosion Control by Organic Coatings" , NACE (1981) 18. [Y.]
- M. Mahdavian, M.M. Attar, *Electrochimica Acta*, 50 (2005) 4645. [Y.]